



МИНОБРНАУКИ РОССИИ

Федеральное государственное бюджетное образовательное учреждение
высшего образования

«МИРЭА - Российский технологический университет»

РТУ МИРЭА

Институт Информационных Технологий
Кафедра Вычислительной Техники (ВТ)

ОТЧЁТ ПО ПРАКТИЧЕСКОЙ РАБОТЕ № 1

«Аппаратные ресурсы ПЛИС. Арифметические операции»

по дисциплине

«Схемотехника устройств компьютерных систем»

Выполнил студент группы

Туктаров Т.А

ИББО-11-23

Принял преподаватель кафедры ВТ

Дуксин Н.А.

Практическая работа выполнена

«__»_____2025 г.

«Зачтено»

«__»_____2025 г.

Москва 2025

АННОТАЦИЯ

Данная работа включает в себя 11 рисунков, 3 листинга. Количество страниц в работе — 14.

СОДЕРЖАНИЕ

ВВЕДЕНИЕ	4
1 ПОСТАНОВКА ЗАДАЧИ	5
2 ПРОЕКТИРОВАНИЕ И РЕАЛИЗАЦИЯ	6
2.1 Реализация заданного варианта	6
2.2 Реализация заданного варианта с измененной разрядностью	8
2.3 Реализация заданного варианта с добавлением signed.....	12
ЗАКЛЮЧЕНИЕ	13
СПИСОК ИСПОЛЬЗОВАННЫХ ИСТОЧНИКОВ	14

ВВЕДЕНИЕ

FPGA (Field-programmable gate array) — архитектура ПЛИС, в основе которой лежит конфигурируемая матрица логических ячеек. К основным аппаратным ресурсам FPGA семейства «Artix» седьмой серии можно отнести: CLB, BRAM, DSP.

CLB (Configurable Logic Blocks) — базовый компонент для построения конфигурируемой матрицы. Каждый блок содержит в своём составе два подблока (slice), которые являются комплементарными.

В пределах каждого slice присутствуют четыре шестивходные таблицы поиска (LUT – Lookup Table). Каждая шестивходовая LUT (6-LUT) состоит из двух пятивходовых LUT (5-LUT). Каждая 5-LUT представляет собой память, на основе которой может быть реализована любая логическая функция от пяти переменных. Наличие мультиплексора 2–1 на выходе 6-LUT, который управляется в свою очередь шестым входом 6-LUT, даёт возможность реализовывать логические функции от шести переменных, задействуя 5-LUT в количестве двух штук.

В дополнение к таблицам поиска для выполнения арифметических операций в рамках CLB присутствуют цепи переноса (fast carry chain). В пределах одного блока CLB две цепи переноса расположены изолированно друг от друга, и распространяют перенос к соответствующим slice следующего блока CLB.

1 ПОСТАНОВКА ЗАДАЧИ

Цель работы: знакомство студентов с возможными аппаратными ресурсами, которые могут быть задействованы при проектировании, а также связь описания устройства при помощи языков описания аппаратуры и полученными результатами синтеза.

Задание: согласно варианту рассмотреть различные варианты реализации заданной схемы, номер варианта представлен на Рисунке 1.1.

21	Туктаров	Тимур Азатович	$a * b \gg c / d + e$
----	----------	----------------	-----------------------

Рисунок 1.1 — Персональный вариант

2 ПРОЕКТИРОВАНИЕ И РЕАЛИЗАЦИЯ

2.1 Реализация заданного варианта

При помощи языка описания аппаратуры Verilog средствами САПР Vivado реализуем заданное уравнение. Реализация представлена в Листинге 2.1:

Листинг 2.1 — Модуль main.v

```
`timescale 1ns / 1ps

module main(
  input a,b,c,d,e,
  output [2:0] f
);
  assign f = a * b >> c/d + e;

endmodule
```

Данный код реализует деление, умножение, сдвиг вправо и сложение. Размерность выходной шины следует брать на единицу больше размерности операндов, поскольку оператор сложения в Verilog HDL подразумевает наличие единицы переноса.

Соответствующая комбинационная схема будет использовать аппаратный ресурс LUT. Поскольку входы, от которых зависят оба выхода, одинаковы, то для размещения будет достаточно одного аппаратного ресурса типа 6-LUT, что показано на Рисунках 2.1, 2.2 и 2.3.

Resource	Utilization	Available	Utilization %
LUT	1	63400	0.01
IO	7	210	3.33

Рисунок 2.1 — Таблица задействованных ресурсов

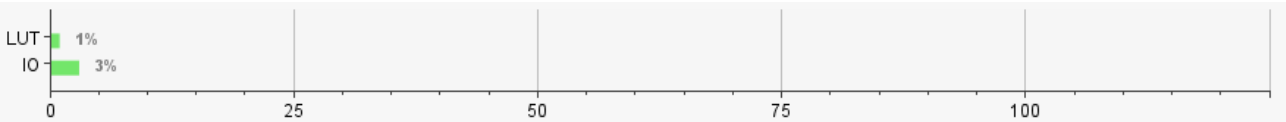


Рисунок 2.2 – График задействованных ресурсов

Результат имплементации на Рисунке 2.3 показывает такое же количество задействованных LUT что и таблица с задействованными ресурсами.

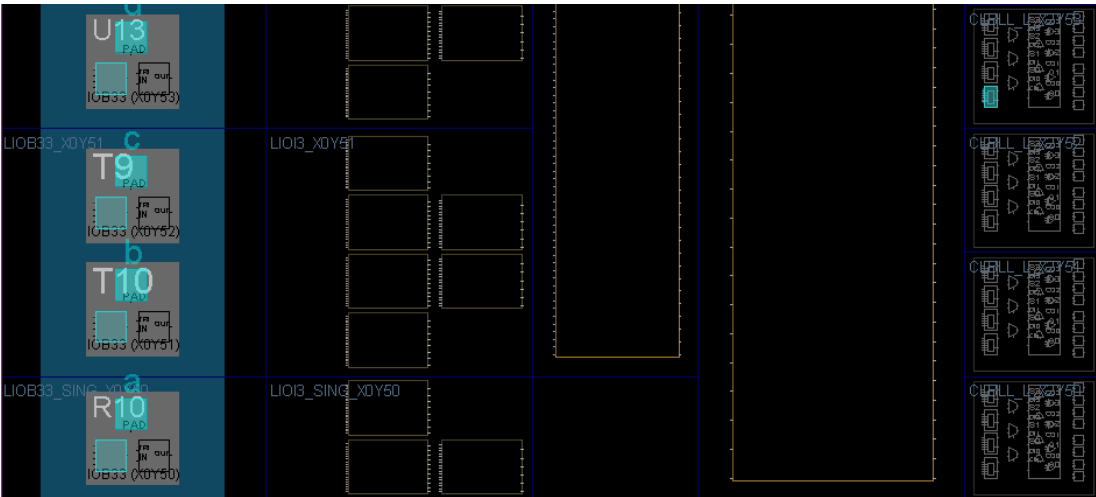


Рисунок 2.3 — Задействованные ресурсы для реализации задания

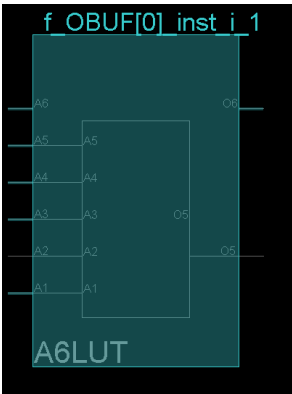


Рисунок 2.4 – LUT-6

2.2 Реализация заданного варианта с измененной разрядностью

При написании данного кода, были изменены только разрядности входных и выходных сигналов в 16 раз, что продемонстрировано в Листинге 2.2.

Листинг 2.2 — Модуль *main.v*

```
`timescale 1ns / 1ps

module main(
    input [15:0] a, b, c, d, e,
    output [31:0] f
);
    assign f = a * b >> c/d + e;
endmodule
```

С увеличением разрядности сумматоров растёт число задействованных аппаратных ресурсов 6-LUT для реализации. Из-за чего схема шестнадцатиразрядного сумматора после имплементации будет использовать 362 аппаратных ресурсов 6-LUT.

Если основной операцией в рамках модуля является операция сложения и умножения, то для такой операции эффективнее всего также задействовать аппаратный ресурс DSP48, вследствие чего можно заметить наличие одного такого элемента на Рисунке 2.5 при реализации данного кода.

Resource	Utilization	Available	Utilization %
LUT	362	63400	0.57
DSP	1	240	0.42
IO	112	210	53.33

Рисунок 2.5 — Таблица ресурсов для выполнения большей разрядности

Более наглядные изображения DSP представлены на Рисунках 2.6–2.7.

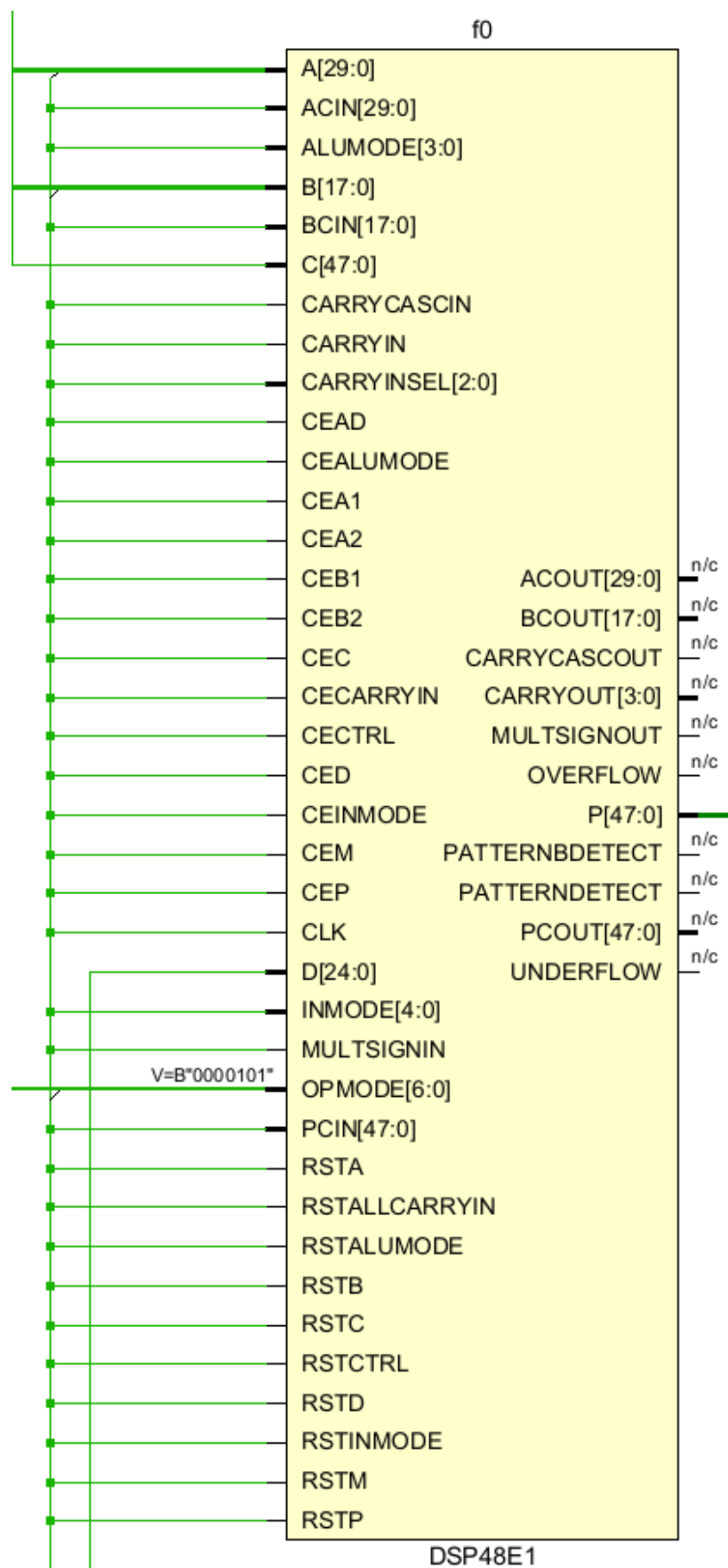


Рисунок 2.6 — Блок DSP из схематичного результата имплементации

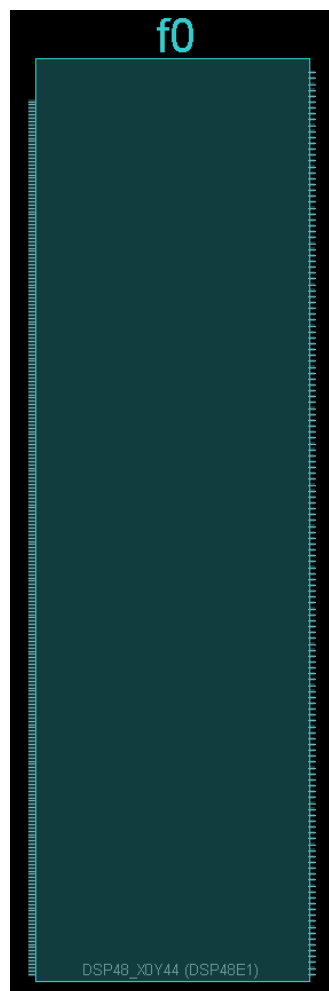


Рисунок 2.7 — Блок DSP из результата имплементации

Помимо использования DSP, из-за большего количества используемых LUT, не уместающихся в одном slice, начинают использоваться Carry chain которые помогают переносить с одного slice на другой, что можно отследить на Рисунке 2.8.

Ref Name	Used	Functional Category
LUT3	242	LUT
CARRY4	84	CarryLogic
IBUF	80	IO
LUT6	45	LUT
LUT4	37	LUT
LUT2	34	LUT
OBUF	32	IO
LUT1	30	LUT
LUT5	12	LUT
DSP48E1	1	Block Arithmetic

Рисунок 2.8 — Информация об элементах, задействованных для реализации модуля

На Рисунке 2.9 представлен полный результат имплементации данного модуля, на котором видно, что с увеличением разрядности таблицы растет напрямую увеличивается ИО, становится больше задействованных LUT начинает использоваться одна DSP и используется несколько Carry chain'ов для переносов на соседние slices.

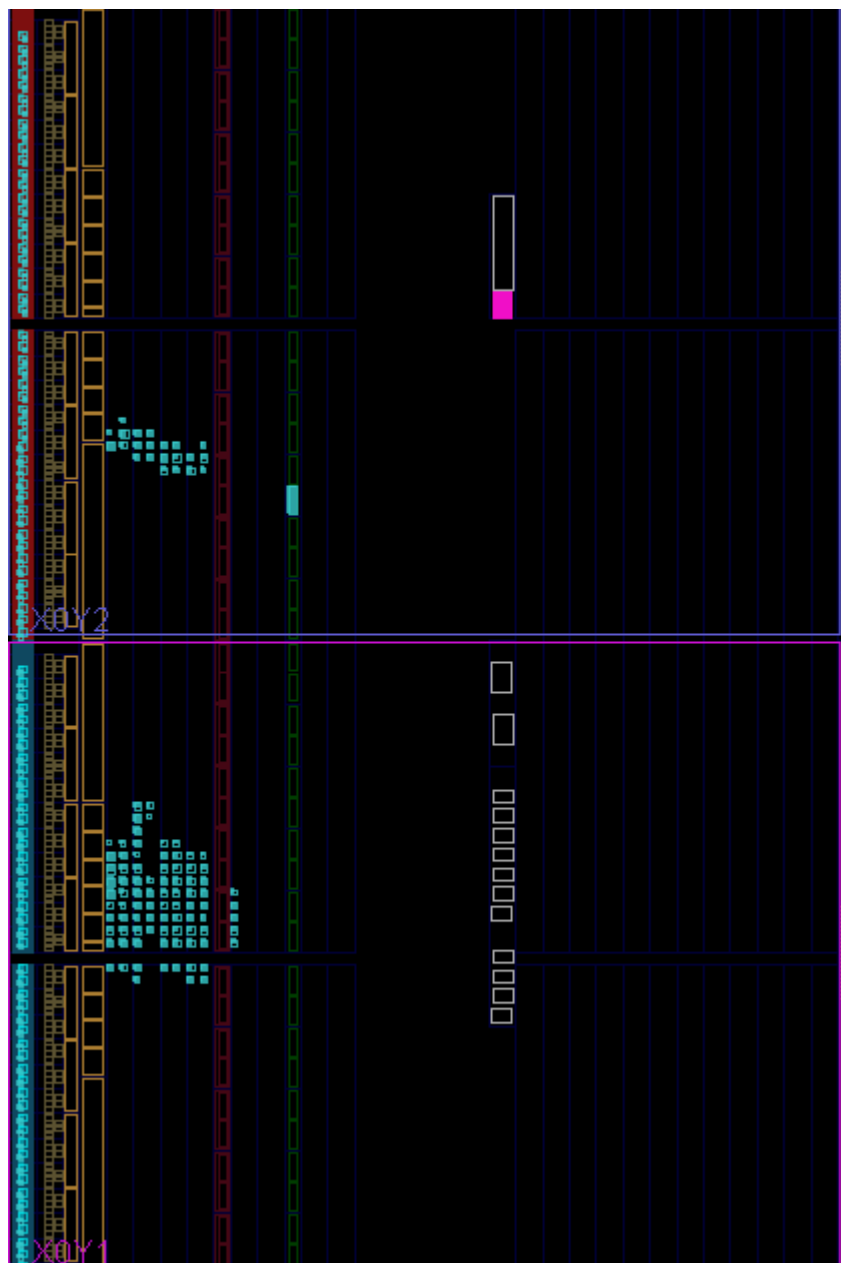


Рисунок 2.9 — Результат имплементации модуля

2.3 Реализация заданного варианта с добавлением signed

Реализуем модуль с модификаторами «signed» для изначального решения поставленной задачи в Листинге 2.3.

Листинг 2.3 — Модуль main.v

```
`timescale 1ns / 1ps

module main2(
  input signed a,b,c,d,e,
  output signed [2:0] f
);
  assign f= f = a * b >> c/d + e;
endmodule
```

Несколько иначе будут реализовываться операции, в случае если операнды будут знаковые, т. е. изначально храниться в дополнительном коде. Для указания этого свойства в языке Verilog используется ключевое слово «signed».

Исходя из вышесказанного модификатор «signed» помогает избежать ошибок при работе с отрицательными числами, однако в данном варианте отсутствуют операции вычитания, из чего можно сделать вывод что добавление данного модификатора в схему ничего не изменит, а следовательно помимо работы с дополнительным кодом добавление модификатора не изменит существенно итог имплементации, что показано на Рисунках 2.9 – 2.10.

Resource	Utilization	Available	Utilization %
LUT	1	63400	0.01
IO	7	210	3.33

Рисунок 2.9 — Ресурсная таблица

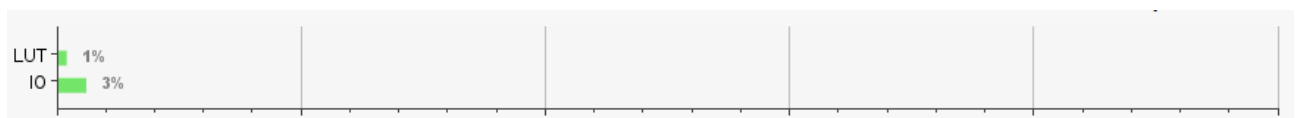


Рисунок 2.10 – Ресурсный график

ЗАКЛЮЧЕНИЕ

В результате выполнения практической работы были реализованы три модуля описывающие одинаковую функцию, но с разными реализациями, при помощи Verilog HDL. Произведена имплементация полученных модулей средствами САПР Vivado. Были проанализированы результаты имплементации для каждого модуля и рассмотрены их различия, были изучены основные аппаратные ресурсы, доступные при проектировании устройств на базе ПЛИС «Artix-7» xc7a100tcsg324-1. Также получены базовые представления о реализации основных арифметических функций: описания на Verilog HDL, реализации на базе ПЛИС «Artix-7» xc7a100tcsg324-1..

СПИСОК ИСПОЛЬЗОВАННЫХ ИСТОЧНИКОВ

1. Тарасов И. Е. ПЛИС Xilinx. Языки описания аппаратуры VHDL и Verilog, САПР, приемы проектирования. М.: Издательство: Горячая линия - Телеком, 2019 г. ISBN: 978-5-9912-0802-4
2. Орлов С.А. Организация ЭВМ и систем: Учебник для вузов. 3-е изд. Стандарт третьего поколения / С.А. Орлов, Б.Я. Цилькер. – Санкт-Петербург: Питер, 2014. - 688 с. - ISBN 978-5-496-01145-7.
3. Паттерсон Д., Хеннесси Дж. Архитектура компьютера и проектирование компьютерных систем. 4-е изд. СПб.: Питер, 2012. – ISBN 978- 5-459-00291-1.
4. Рабан, Жан.М., Чандракасан, А., Николич, Б. Цифровые интегральные схемы. Методология проектирования. 2-е изд.: Пер. с англ. – М.: ООО «И.Д. Вильямс», 2016. – 912 с.: ил. – Параллит. англ. ISBN 978-5-8459- 1116-2 (рус.).
5. Шафер Д., Фатрелл Р., Шафер Л. Управление программными проектами: достижение оптимального качества при минимуме затрат: Пер. с англ. – М.: Издательский дом «Вильямс», 2004. – 1136 с.: ил. – Парал.тит.англ.